

**Tab. D.1.1 Scala delle portate e delle velocità di una corrente a pelo libero in sezione circolare**  
 corso d'acqua o canale **Fognatura bianca di Corso Carlo Marx - esistente**  
 tronco **da nodo 25 a nodo 27 (v. Sonnino)**

**caratteristiche:**

	materiale		<b>PEAD Spiralato</b>
DN	diametro nominale	(mm)	<b>500</b>
De	diametro esterno	(mm)	-
s	spessore	(mm)	-
Di	diametro interno	(mm)	<b>500</b>
r	raggio interno	(mm)	<b>250</b>
Ks	parametro di scabrezza (Gaukler-Strickler)	(m <sup>1/3</sup> /s)	<b>95</b>
i	pendenza		<b>0,0066</b>

franco	grado di riempimento	tirante idrico	angolo al centro	sezione bagnata	contorno bagnato	larghezza del pelo libero	raggio idraulico	velocità	portata
f	h/2r	h	a	A	P	B	R	v	Q
(m)		(m)	(rad)	(m <sup>2</sup> )	(m)	(m)	(m)	(m/s)	(m <sup>3</sup> /s)
0,20	0,600	0,300	1,772	0,123	0,886	0,490	0,139	2,069	0,25453
0,15	0,700	0,350	1,982	0,147	0,991	0,458	0,148	2,161	0,31719
0,10	0,800	0,400	2,214	0,168	1,107	0,400	0,152	2,199	0,37031
0,05	0,900	0,450	2,498	0,186	1,249	0,300	0,149	2,169	0,40378
0,00	1,000	0,500	<b>3,142</b>	0,196	1,571	0,000	0,125	1,929	0,37885
Qmax	<b>0,938</b>	0,469	2,638	0,191	1,319	0,241	0,145	2,130	<b>0,40753</b>
Vmax	<b>0,813</b>	0,407	2,247	0,171	1,124	0,390	0,152	2,200	0,37605

**Tab. D.1.2. Scala delle portate e delle velocità di una corrente a pelo libero in sezione circolare**  
 corso d'acqua o canale **Fognatura bianca di Corso Carlo Marx - esistente**  
 tronco **da nodo 27 (v. Sonnino) a nodo 28 (v Marshall)**

**caratteristiche:**

	materiale		<b>PEAD spiralato</b>
DN	diametro nominale	(mm)	<b>800</b>
De	diametro esterno	(mm)	-
s	spessore	(mm)	-
Di	diametro interno	(mm)	<b>800</b>
r	raggio interno	(mm)	<b>400</b>
Ks	parametro di scabrezza (Gaukler-Strickler)	(m <sup>1/3</sup> /s)	<b>95</b>
i	pendenza		<b>0,0058</b>

franco	grado di riempimento	tirante idrico	angolo al centro	sezione bagnata	contorno bagnato	larghezza del pelo libero	raggio idraulico	velocità	portata
f	h/2r	h	a	A	P	B	R	v	Q
(m)		(m)	(rad)	(m <sup>2</sup> )	(m)	(m)	(m)	(m/s)	(m <sup>3</sup> /s)
0,20	0,750	0,600	2,094	0,404	1,676	0,693	0,241	2,805	1,13413
0,15	0,813	0,650	2,246	0,437	1,797	0,624	0,243	2,821	1,23385
0,10	0,875	0,700	2,419	0,466	1,935	0,529	0,241	2,802	1,30683
0,05	0,938	0,750	2,636	0,490	2,109	0,387	0,232	2,733	1,33789
0,00	1,000	0,800	<b>3,142</b>	0,503	2,513	0,000	0,200	2,474	1,24373
Qmax	<b>0,938</b>	0,750	2,638	0,490	2,111	0,386	0,232	2,732	<b>1,33789</b>
Vmax	<b>0,813</b>	0,650	2,247	0,438	1,798	0,624	0,243	2,821	1,23456

**Tab. D.1.3. Scala delle portate e delle velocità di una corrente a pelo libero in sezione circolare**

corso d'acqua o canale

**Fognatura bianca a valle di Corso Carlo Marx - in progetto**

tronco

**da nodo 28 (v Marshall) a nodo 29 (area spartitraffico di fronte a Largo Favara, tra V14 e V15)****caratteristiche:**

materiale		<b>PEAD spiralato</b>
DN diametro nominale	(mm)	<b>800</b>
De diametro esterno	(mm)	-
s spessore	(mm)	-
Di diametro interno	(mm)	<b>800</b>
r raggio interno	(mm)	<b>400</b>
Ks parametro di scabrezza (Gaukler-Strickler)	(m <sup>1/3</sup> /s)	<b>95</b>
i pendenza		<b>0,0150</b>

franco	grado di riempimento	tirante idrico	angolo al centro	sezione bagnata	contorno bagnato	larghezza del pelo libero	raggio idraulico	velocità	portata
f	h/2r	h	a	A	P	B	R	v	Q
(m)		(m)	(rad)	(m <sup>2</sup> )	(m)	(m)	(m)	(m/s)	(m <sup>3</sup> /s)
0,20	0,750	0,600	2,094	0,404	1,676	0,693	0,241	4,510	1,82388
0,15	0,813	0,650	2,246	0,437	1,797	0,624	0,243	4,536	1,98424
0,10	0,875	0,700	2,419	0,466	1,935	0,529	0,241	4,506	2,10160
0,05	0,938	0,750	2,636	0,490	2,109	0,387	0,232	4,395	2,15155
0,00	1,000	0,800	<b>3,142</b>	0,503	2,513	0,000	0,200	3,979	2,00013
Qmax	<b>0,938</b>	0,750	2,638	0,490	2,111	0,386	0,232	4,393	<b>2,15156</b>
Vmax	<b>0,813</b>	0,650	2,247	0,438	1,798	0,624	0,243	4,536	1,98538

Tab. D.1.4. Scala delle portate e delle velocità di una corrente a pelo libero in sezione circolare

corso d'acqua o canale tronco		Fognatura bianca a vale di Corso Carlo marx - in progetto da nodo 29 (area spartitraffico di fronte a Largo Favara, tra V14 e V15) e nodo 30 (confluenza nel V. Acquicella)							
caratteristiche:									
	materiale	PEAD spiralato							
DN	di diametro nominale	(mm)	800						
De	di diametro esterno	(mm)	-						
s	spessore	(mm)	-						
Di	di diametro interno	(mm)	800						
r	raggio interno	(mm)	400						
Ks	parametro di scabrezza (Gauckler-Strickler)	(m <sup>1/3</sup> /s)	95						
i	pendenza		0,0110						
franco	grado di riempimento	tirante idrico	angolo al centro	sezione bagnata	contorno bagnato	larghezza del pelo libero	raggio idraulico	velocità	portata
f (m)	h/2r	h (m)	a (rad)	A (m <sup>2</sup> )	P (m)	B (m)	R (m)	v (m/s)	Q (m <sup>3</sup> /s)
0,20	0,750	0,600	2,094	0,404	1,676	0,693	0,241	3,862	1,56188
0,15	0,813	0,650	2,246	0,437	1,797	0,624	0,243	3,885	1,69920
0,10	0,875	0,700	2,419	0,466	1,935	0,529	0,241	3,859	1,79971
0,05	0,938	0,750	2,636	0,490	2,109	0,387	0,232	3,763	1,84248
0,00	1,000	0,800	<b>3,142</b>	0,503	2,513	0,000	0,200	3,408	1,71281
Qmax	<b>0,938</b>	0,750	2,638	0,490	2,111	0,386	0,232	3,762	<b>1,84248</b>
Vmax	<b>0,813</b>	0,650	2,247	0,438	1,798	0,624	0,243	3,885	1,70017

**Tab. D.1.5. Scala delle portate e delle velocità di una corrente a pelo libero in sezione circolare**  
 corso d'acqua o canale **Diversivo del Vallone Annunziatella**  
 tronco **1**

**caratteristiche:**

	materiale	<b>calcestruzzo ben liscio</b>
DN	diametro nominale (mm)	<b>2400</b>
De	diametro esterno (mm)	-
s	spessore (mm)	-
Di	diametro interno (mm)	<b>2400</b>
r	raggio interno (mm)	<b>1200</b>
Ks	parametro di scabrezza (Gaukler-Strickler) (m <sup>1/3</sup> /s)	<b>90</b>
i	pendenza	<b>0,0200</b>

franco	grado di riempimento	tirante idrico	angolo al centro	sezione bagnata	contorno bagnato	larghezza del pelo libero	raggio idraulico	velocità	portata
f (m)	h/2r	h (m)	a (rad)	A (m <sup>2</sup> )	P (m)	B (m)	R (m)	v (m/s)	Q (m <sup>3</sup> /s)
0,40	0,833	2,000	2,301	4,028	5,521	1,789	0,730	10,315	41,55288
0,30	0,875	2,100	2,419	4,198	5,805	1,587	0,723	10,253	43,03903
0,20	0,917	2,200	2,556	4,344	6,134	1,327	0,708	10,112	43,92464
0,10	0,958	2,300	2,730	4,459	6,553	0,959	0,681	9,847	43,91236
0,00	1,000	2,400	<b>3,142</b>	4,524	7,540	0,000	0,600	9,054	40,96101
Qmax	<b>0,938</b>	2,251	2,638	4,408	6,332	1,158	0,696	9,997	<b>44,06200</b>
Vmax	<b>0,813</b>	1,951	2,247	3,939	5,393	1,872	0,730	10,322	40,65877

**Tab. D.1.6. Scala delle portate e delle velocità di una corrente a pelo libero in sezione circolare**  
 corso d'acqua o canale **Diversivo del Vallone Annunziatella**  
 tronco **2**

**caratteristiche:**

	materiale	<b>calcestruzzo ben liscio</b>
DN	diametro nominale (mm)	<b>2500</b>
De	diametro esterno (mm)	-
s	spessore (mm)	-
Di	diametro interno (mm)	<b>2500</b>
r	raggio interno (mm)	<b>1250</b>
Ks	parametro di scabrezza (Gaukler-Strickler) (m <sup>1/3</sup> /s)	<b>90</b>
i	pendenza	<b>0,0170</b>

franco	grado di riempimento	tirante idrico	angolo al centro	sezione bagnata	contorno bagnato	larghezza del pelo libero	raggio idraulico	velocità	portata
f (m)	h/2r	h (m)	a (rad)	A (m <sup>2</sup> )	P (m)	B (m)	R (m)	v (m/s)	Q (m <sup>3</sup> /s)
0,40	0,840	2,100	2,319	4,402	5,796	1,833	0,759	9,767	42,99419
0,30	0,880	2,200	2,434	4,575	6,085	1,625	0,752	9,702	44,38927
0,20	0,920	2,300	2,568	4,725	6,420	1,356	0,736	9,565	45,19277
0,10	0,960	2,400	2,739	4,843	6,847	0,980	0,707	9,315	45,11259
0,00	1,000	2,500	<b>3,142</b>	4,909	7,854	0,000	0,625	8,578	42,10725
Qmax	<b>0,938</b>	2,345	2,638	4,783	6,596	1,206	0,725	9,471	<b>45,29502</b>
Vmax	<b>0,813</b>	2,033	2,247	4,274	5,618	1,950	0,761	9,779	41,79655

**Tab. D.1.7. Scala delle portate e delle velocità di una corrente a pelo libero in sezione circolare**  
 corso d'acqua o canale **Diversivo del Vallone Annunziatella**  
 tronco **2**

**caratteristiche:**

	materiale	<b>calcestruzzo ben liscio</b>
DN	diametro nominale (mm)	<b>2800</b>
De	diametro esterno (mm)	-
s	spessore (mm)	-
Di	diametro interno (mm)	<b>2800</b>
r	raggio interno (mm)	<b>1400</b>
Ks	parametro di scabrezza (Gaukler-Strickler) (m <sup>1/3</sup> /s)	<b>90</b>
i	pendenza	<b>0,0100</b>

franco	grado di riempimento	tirante idrico	angolo al centro	sezione bagnata	contorno bagnato	larghezza del pelo libero	raggio idraulico	velocità	portata
f (m)	h/2r	h (m)	a (rad)	A (m <sup>2</sup> )	P (m)	B (m)	R (m)	v (m/s)	Q (m <sup>3</sup> /s)
0,40	0,857	2,400	2,366	5,618	6,626	1,960	0,848	8,062	45,29394
0,30	0,893	2,500	2,475	5,803	6,929	1,732	0,837	7,996	46,40248
0,20	0,929	2,600	2,600	5,962	7,281	1,442	0,819	7,877	46,96665
0,10	0,964	2,700	2,761	6,088	7,732	1,039	0,787	7,674	46,71782
0,00	1,000	2,800	<b>3,142</b>	6,158	8,796	0,000	0,700	7,095	43,68984
Qmax	<b>0,938</b>	2,626	2,638	5,999	7,387	1,350	0,812	7,834	<b>46,99742</b>
Vmax	<b>0,813</b>	2,276	2,247	5,361	6,292	2,184	0,852	8,089	43,36746

**Tab. D.2.1. Canale rettangolare con fondo e pareti di diversa scabrezza**  
**Scala delle portate di moto uniforme. Formula di Chèzy e Gauckler-Strickler**

denominazione:	<b>N.V. Annunziatella Sinistro</b>	tronco n. <b>10, 12 e 17</b>	sezione chiusa
larghezza		b	(m) 3,00
altezza		H	(m) 1,40
pendenza di fondo		i	(%) 0,75
parete 1	<i>calcestruzzo in non perfette condizioni</i>	cp1	(m <sup>1/3</sup> /s) 80
parete 2	<i>calcestruzzo in non perfette condizioni</i>	cp2	(m <sup>1/3</sup> /s) 80
fondo e cielo	<i>calcestruzzo in non perfette condizioni</i>	cf	(m <sup>1/3</sup> /s) 80
incremento di altezza		Dh	(m) 0,10
coefficiente di ragguaglio dell'energia cinetica della corrente (coeff. di Coriolis)		$\alpha$	1,06

franco	tirante idrico	parametro di scabrezza	sezione bagnata	raggio idraulico	velocità	portata di moto uniforme	altezza di stato critico	tipo di alveo
f	h	cm	A	R	v	Qo	k(Q)	
(m)	(m)	(m <sup>1/3</sup> /s)	(m <sup>2</sup> )	(m)	(m/s)	(m <sup>3</sup> /s)	(m)	
0,40	1,00	80,00	3,000	0,600	4,93	14,79	1,38	FP
0,30	1,10	80,00	3,300	0,635	5,12	16,88	1,51	FP
0,20	1,20	80,00	3,600	0,667	5,29	19,03	1,63	FP
0,10	1,30	80,00	3,900	0,696	5,44	21,23	1,76	FP
0,00	1,40	80,00	4,200	0,477	4,23	17,77		sezione chiusa

**Tab. D.2.2. Canale rettangolare con fondo e pareti di diversa scabrezza**  
**Scala delle portate di moto uniforme. Formula di Chèzy e Gauckler-Strickler**

denominazione:	<b>N.V. Annunziatella Sinistro</b>	tronco n. <b>15</b>	sezione chiusa	
larghezza		b	(m)	3,00
altezza		H	(m)	1,40
pendenza di fondo		i	(%)	0,50
parete 1	<i>calcestruzzo in non perfette condizioni</i>	cp1	(m <sup>1/3</sup> /s)	80
parete 2	<i>calcestruzzo in non perfette condizioni</i>	cp2	(m <sup>1/3</sup> /s)	80
fondo e cielo	<i>calcestruzzo in non perfette condizioni</i>	cf	(m <sup>1/3</sup> /s)	80
incremento di altezza		Dh	(m)	0,10
coefficiente di ragguaglio dell'energia cinetica della corrente (coeff. di Coriolis)		$\alpha$		1,06

franco	tirante idrico	parametro di scabrezza	sezione bagnata	raggio idraulico	velocità	portata di moto uniforme	altezza di stato critico	tipo di alveo
f	h	cm	A	R	v	Qo	k(Q)	
(m)	(m)	(m <sup>1/3</sup> /s)	(m <sup>2</sup> )	(m)	(m/s)	(m <sup>3</sup> /s)	(m)	
0,40	1,00	80,00	3,000	0,600	4,02	12,07	1,21	FP
0,30	1,10	80,00	3,300	0,635	4,18	13,79	1,32	FP
0,20	1,20	80,00	3,600	0,667	4,32	15,54	1,43	FP
0,10	1,30	80,00	3,900	0,696	4,44	17,33	1,53	FP
0,00	1,40	80,00	4,200	0,477	3,45	14,51		sezione chiusa

**Tab. D.2.3. Canale rettangolare con fondo e pareti di diversa scabrezza**  
**Scala delle portate di moto uniforme. Formula di Chèzy e Gauckler-Strickler**

denominazione:	<b>N.V. Annunziatella Sinistro</b>	tronco n. '16T	sezione chiusa	
larghezza		b	(m)	3,00
altezza		H	(m)	1,40
pendenza di fondo		i	(%)	0,60
parete 1	<i>calcestruzzo in non perfette condizioni</i>	cp1	(m <sup>1/3</sup> /s)	80
parete 2	<i>calcestruzzo in non perfette condizioni</i>	cp2	(m <sup>1/3</sup> /s)	80
fondo e cielo	<i>calcestruzzo in non perfette condizioni</i>	cf	(m <sup>1/3</sup> /s)	80
incremento di altezza		Dh	(m)	0,10
coefficiente di ragguaglio dell'energia cinetica della corrente (coeff. di Coriolis)		$\alpha$		1,06

franco	tirante idrico	parametro di scabrezza	sezione bagnata	raggio idraulico	velocità	portata di moto uniforme	altezza di stato critico	tipo di alveo
f	h	cm	A	R	v	Qo	k(Q)	
(m)	(m)	(m <sup>1/3</sup> /s)	(m <sup>2</sup> )	(m)	(m/s)	(m <sup>3</sup> /s)	(m)	
0,40	1,00	80,00	3,000	0,600	4,41	13,22	1,28	FP
0,30	1,10	80,00	3,300	0,635	4,58	15,10	1,40	FP
0,20	1,20	80,00	3,600	0,667	4,73	17,02	1,52	FP
0,10	1,30	80,00	3,900	0,696	4,87	18,99	1,63	FP
0,00	1,40	80,00	4,200	0,477	3,78	15,89		sezione chiusa

**Tab. D.2.4 Canale rettangolare con fondo e pareti di diversa scabrezza**  
**Scala delle portate di moto uniforme. Formula di Chèzy e Gauckler-Strickler**

denominazione:	<b>N.V. Annunziatella Sinistro</b>	tronco n. <b>'9c e 9bT</b>	sezione chiusa
larghezza		b	(m) 5,00
altezza		H	(m) 1,40
pendenza di fondo		i	(%) 0,60
parete 1	<i>calcestruzzo in non perfette condizioni</i>	cp1	(m <sup>1/3</sup> /s) 80
parete 2	<i>calcestruzzo in non perfette condizioni</i>	cp2	(m <sup>1/3</sup> /s) 80
fondo e cielo	<i>calcestruzzo in non perfette condizioni</i>	cf	(m <sup>1/3</sup> /s) 80
incremento di altezza		Dh	(m) 0,10
coefficiente di ragguaglio dell'energia cinetica della corrente (coeff. di Coriolis)		$\alpha$	1,06

franco	tirante idrico	parametro di scabrezza	sezione bagnata	raggio idraulico	velocità	portata di moto uniforme	altezza di stato critico	tipo di alveo
f	h	cm	A	R	v	Qo	k(Q)	
(m)	(m)	(m <sup>1/3</sup> /s)	(m <sup>2</sup> )	(m)	(m/s)	(m <sup>3</sup> /s)	(m)	
0,40	1,00	80,00	5,000	0,714	4,95	24,76	1,38	FP
0,30	1,10	80,00	5,500	0,764	5,18	28,48	1,52	FP
0,20	1,20	80,00	6,000	0,811	5,39	32,33	1,65	FP
0,10	1,30	80,00	6,500	0,855	5,58	36,29	1,79	FP
0,00	1,40	80,00	7,000	0,547	4,14	29,01		sezione chiusa

**Tab. D.2.5 Canale rettangolare con fondo e pareti di diversa scabrezza**  
**Scala delle portate di moto uniforme. Formula di Chèzy e Gauckler-Strickler**

denominazione:	<b>N.V. Annunziatella Destro</b>	tronco n. <b>'4b e 8T</b>	sezione chiusa
larghezza		b	(m) 5,00
altezza		H	(m) 1,40
pendenza di fondo		i	(%) 1,00
parete 1	<i>calcestruzzo in non perfette condizioni</i>	cp1	(m <sup>1/3</sup> /s) 80
parete 2	<i>calcestruzzo in non perfette condizioni</i>	cp2	(m <sup>1/3</sup> /s) 80
fondo e cielo	<i>calcestruzzo in non perfette condizioni</i>	cf	(m <sup>1/3</sup> /s) 80
incremento di altezza		Dh	(m) 0,10
coefficiente di ragguaglio dell'energia cinetica della corrente (coeff. di Coriolis)		$\alpha$	1,06

franco	tirante idrico	parametro di scabrezza	sezione bagnata	raggio idraulico	velocità	portata di moto uniforme	altezza di stato critico	tipo di alveo
f	h	cm	A	R	v	Qo	k(Q)	
(m)	(m)	(m <sup>1/3</sup> /s)	(m <sup>2</sup> )	(m)	(m/s)	(m <sup>3</sup> /s)	(m)	
0,40	1,00	80,00	5,000	0,714	6,39	31,96	1,64	FP
0,30	1,10	80,00	5,500	0,764	6,69	36,77	1,80	FP
0,20	1,20	80,00	6,000	0,811	6,96	41,74	1,96	FP
0,10	1,30	80,00	6,500	0,855	7,21	46,85	2,12	FP
0,00	1,40	80,00	7,000	0,547	5,35	37,45		<i>sezione chiusa</i>
						<i>e per due canne</i>		
0,40	1,00					63,93		FP
0,30	1,10					73,54		FP
0,20	1,20					83,47		FP
0,10	1,30					93,71		FP
0,00	1,40					74,90		<i>sezione chiusa</i>

**Tab. D.2.6 Canale rettangolare con fondo e pareti di diversa scabrezza**  
**Scala delle portate di moto uniforme. Formula di Chèzy e Gauckler-Strickler**

denominazione:	<b>N.V. Annunziatella Destro</b>	tronco n. <b>6</b>	sezione chiusa	
larghezza		b	(m)	5,00
altezza		H	(m)	1,40
pendenza di fondo		i	(%)	0,60
parete 1	<i>calcestruzzo in non perfette condizioni</i>	cp1	(m <sup>1/3</sup> /s)	80
parete 2	<i>calcestruzzo in non perfette condizioni</i>	cp2	(m <sup>1/3</sup> /s)	80
fondo e cielo	<i>calcestruzzo in non perfette condizioni</i>	cf	(m <sup>1/3</sup> /s)	80
incremento di altezza		Dh	(m)	0,10
coefficiente di ragguaglio dell'energia cinetica della corrente (coeff. di Coriolis)		$\alpha$		1,06

franco	tirante idrico	parametro di scabrezza	sezione bagnata	raggio idraulico	velocità	portata di moto uniforme	altezza di stato critico	tipo di alveo
f	h	cm	A	R	v	Qo	k(Q)	
(m)	(m)	(m <sup>1/3</sup> /s)	(m <sup>2</sup> )	(m)	(m/s)	(m <sup>3</sup> /s)	(m)	
0,40	1,00	80,00	5,000	0,714	4,95	24,76	1,38	FP
0,30	1,10	80,00	5,500	0,764	5,18	28,48	1,52	FP
0,20	1,20	80,00	6,000	0,811	5,39	32,33	1,65	FP
0,10	1,30	80,00	6,500	0,855	5,58	36,29	1,79	FP
0,00	1,40	80,00	7,000	0,547	4,14	29,01		<i>sezione chiusa</i>
						<i>e per due canne</i>		
0,40	1,00					49,52		FP
0,30	1,10					56,96		FP
0,20	1,20					64,66		FP
0,10	1,30					72,58		FP
0,00	1,40					58,02		<i>sezione chiusa</i>

**Tab. D.2.7 Canale rettangolare con fondo e pareti di diversa scabrezza**  
**Scala delle portate di moto uniforme. Formula di Chèzy e Gauckler-Strickler**

denominazione:	<b>N.V. Annunziatella Destro</b>	tronco n. <b>5T</b>	sezione chiusa	
larghezza		b	(m)	5,00
altezza		H	(m)	1,40
pendenza di fondo		i	(%)	0,90
parete 1	<i>calcestruzzo in non perfette condizioni</i>	cp1	(m <sup>1/3</sup> /s)	80
parete 2	<i>calcestruzzo in non perfette condizioni</i>	cp2	(m <sup>1/3</sup> /s)	80
fondo e cielo	<i>calcestruzzo in non perfette condizioni</i>	cf	(m <sup>1/3</sup> /s)	80
incremento di altezza		Dh	(m)	0,10
coefficiente di ragguaglio dell'energia cinetica della corrente (coeff. di Coriolis)		$\alpha$		1,06

franco	tirante idrico	parametro di scabrezza	sezione bagnata	raggio idraulico	velocità	portata di moto uniforme	altezza di stato critico	tipo di alveo
f	h	cm	A	R	v	Qo	k(Q)	
(m)	(m)	(m <sup>1/3</sup> /s)	(m <sup>2</sup> )	(m)	(m/s)	(m <sup>3</sup> /s)	(m)	
0,40	1,00	80,00	5,000	0,714	6,06	30,32	1,58	FP
0,30	1,10	80,00	5,500	0,764	6,34	34,88	1,74	FP
0,20	1,20	80,00	6,000	0,811	6,60	39,60	1,89	FP
0,10	1,30	80,00	6,500	0,855	6,84	44,45	2,04	FP
0,00	1,40	80,00	7,000	0,547	5,08	35,53		<i>sezione chiusa</i>
<i>e per due canne</i>								
0,40	1,00					60,64		FP
0,30	1,10					69,76		FP
0,20	1,20					79,19		FP
0,10	1,30					88,90		FP
0,00	1,40					71,06		<i>sezione chiusa</i>

**Tab. D.2.8 Canale rettangolare con fondo e pareti di diversa scabrezza**  
**Scala delle portate di moto uniforme. Formula di Chèzy e Gauckler-Strickler**

denominazione:	<b>N.V. Annunziatella Destro</b>	tronco n. <b>7T</b>		sezione chiusa
larghezza			b	(m) 5,00
altezza			H	(m) 1,20
pendenza di fondo			i	(%) 0,50
parete 1	<i>calcestruzzo in non perfette condizioni</i>		cp1	(m <sup>1/3</sup> /s) 80
parete 2	<i>calcestruzzo in non perfette condizioni</i>		cp2	(m <sup>1/3</sup> /s) 80
fondo e cielo	<i>calcestruzzo in non perfette condizioni</i>		cf	(m <sup>1/3</sup> /s) 80
incremento di altezza			Dh	(m) 0,10
coefficiente di ragguaglio dell'energia cinetica della corrente (coeff. di Coriolis)			$\alpha$	1,06

franco	tirante idrico	parametro di scabrezza	sezione bagnata	raggio idraulico	velocità	portata di moto uniforme	altezza di stato critico	tipo di alveo
f	h	cm	A	R	v	Qo	k(Q)	
(m)	(m)	(m <sup>1/3</sup> /s)	(m <sup>2</sup> )	(m)	(m/s)	(m <sup>3</sup> /s)	(m)	
0,40	0,80	80,00	4,000	0,606	4,05	16,20	1,04	FP
0,30	0,90	80,00	4,500	0,662	4,30	19,33	1,17	FP
0,20	1,00	80,00	5,000	0,714	4,52	22,60	1,30	FP
0,10	1,10	80,00	5,500	0,764	4,73	26,00	1,43	FP
0,00	1,20	80,00	6,000	0,484	3,49	20,92		<i>sezione chiusa</i>
<i>e per due canne</i>								
0,40	0,80					32,41		FP
0,30	0,90					38,66		FP
0,20	1,00					45,20		FP
0,10	1,10					52,00		FP
0,00	1,20					41,84		<i>sezione chiusa</i>
<i>e per tre canne</i>								
0,40	0,80					48,61		FP
0,30	0,90					57,99		FP
0,20	1,00					67,80		FP
0,10	1,10					78,00		FP
0,00	1,20					62,76		<i>sezione chiusa</i>

**Tab. D.3.1 Canale trapezio con fondo e pareti di diversa scabrezza**  
**Scala delle portate di moto uniforme. Formula di Chèzy e Gauckler-Strickler**

denominazione:	<b>V. Annunziatella Sinistro</b>			tronco n.	<b>'11a</b>
larghezza di fondo	b	(m)	2,20	s	1,158
proiezione della sponda 1	b1	(m)	1,90	s1	1,000
proiezione della sponda 2	b2	(m)	1,90	s2	1,000
larghezza al ciglio	B	(m)	6,00		
altezza	H	(m)	1,90		sezione aperta
pendenza di fondo	i	(%)	<b>0,750</b>		
fondo	terra con erba		cf	(m <sup>1/3</sup> /s)	40
sponda 1	materassi Reno rinverditi		cs1	(m <sup>1/3</sup> /s)	30
sponda 2	materassi Reno rinverditi		cs2	(m <sup>1/3</sup> /s)	30
incremento di altezza			Dh	(m)	0,05
coefficiente di ragguaglio dell'energia cinetica della corrente (coeff. di Coriolis)			$\alpha$		1,06

franco	tirante idrico	parametro di scabrezza	sezione bagnata	raggio idraulico	velocità	portata di moto uniforme	velocità di stato critico	tipo di alveo
f	h	cm	A	R	v	Qo	Vc	
(m)	(m)	(m <sup>1/3</sup> /s)	(m <sup>2</sup> )	(m)	(m/s)	(m <sup>3</sup> /s)	(m/s)	
0,40	1,50	32,68	5,550	0,677	2,18	12,11	3,14	DP
0,30	1,60	32,56	6,080	0,707	2,24	13,60	3,23	DP
0,25	1,65	32,50	6,353	0,722	2,26	14,39	3,27	DP
0,20	1,70	32,44	6,630	0,737	2,29	15,19	3,31	DP
0,10	1,80	32,34	7,200	0,766	2,34	16,88	3,39	DP
0,00	1,90	32,24	7,790	0,795	2,40	18,67	3,47	DP

**Tab. D.3.2 Canale trapezio con fondo e pareti di diversa scabrezza**  
**Scala delle portate di moto uniforme. Formula di Chèzy e Gauckler-Strickler**

denominazione:	<b>V. Annunziatella Sinistro</b>			tronco n.	<b>13</b>
larghezza di fondo	b	(m)	2,00	s	1,000
proiezione della sponda 1	b1	(m)	2,00	s1	1,000
proiezione della sponda 2	b2	(m)	2,00	s2	1,000
larghezza al ciglio	B	(m)	6,00		
altezza	H	(m)	2,00		sezione aperta
pendenza di fondo	i	(%)	<b>1,100</b>		
fondo	terra con erba		cf	(m <sup>1/3</sup> /s)	40
sponda 1	materassi Reno rinverditi		cs1	(m <sup>1/3</sup> /s)	30
sponda 2	materassi Reno rinverditi		cs2	(m <sup>1/3</sup> /s)	30
incremento di altezza			Dh	(m)	0,05
coefficiente di ragguaglio dell'energia cinetica della corrente (coeff. di Coriolis)			$\alpha$		1,06

franco	tirante idrico	parametro di scabrezza	sezione bagnata	raggio idraulico	velocità	portata di moto uniforme	velocità di stato critico	tipo di alveo
f	h	cm	A	R	v	Qo	Vc	
(m)	(m)	(m <sup>1/3</sup> /s)	(m <sup>2</sup> )	(m)	(m/s)	(m <sup>3</sup> /s)	(m/s)	
0,40	1,60	32,38	5,760	0,686	2,64	15,21	3,20	DP
0,30	1,70	32,27	6,290	0,715	2,71	17,02	3,28	DP
0,20	1,80	32,17	6,840	0,743	2,77	18,94	3,36	DP
0,15	1,85	32,13	7,123	0,758	2,80	19,95	3,40	DP
0,10	1,90	32,08	7,410	0,772	2,83	20,98	3,44	DP
0,00	2,00	32,00	8,000	0,800	2,89	23,14	3,51	DP

**Tab. D.3.3 Canale trapezio con fondo e pareti di diversa scabrezza**  
**Scala delle portate di moto uniforme. Formula di Chèzy e Gauckler-Strickler**

denominazione:	<b>V. Annunziatella Sinistro</b>			tronco n.	<b>14</b>
larghezza di fondo	b	(m)	2,00	s	1,000
proiezione della sponda 1	b1	(m)	2,00	s1	1,000
proiezione della sponda 2	b2	(m)	2,00	s2	1,000
larghezza al ciglio	B	(m)	6,00		
altezza	H	(m)	2,00		sezione aperta
pendenza di fondo	i	(%)	<b>0,850</b>		
fondo	terra con erba		cf	(m <sup>1/3</sup> /s)	40
sponda 1	materassi Reno rinver c		cs1	(m <sup>1/3</sup> /s)	30
sponda 2	materassi Reno rinverditi		cs2	(m <sup>1/3</sup> /s)	30
incremento di altezza			Dh	(m)	0,05
coefficiente di ragguaglio dell'energia cinetica della corrente (coeff. di Coriolis)			$\alpha$		1,06

franco	tirante idrico	parametro di scabrezza	sezione bagnata	raggio idraulico	velocità	portata di moto uniforme	velocità di stato critico	tipo di alveo
f	h	cm	A	R	v	Qo	Vc	
(m)	(m)	(m <sup>1/3</sup> /s)	(m <sup>2</sup> )	(m)	(m/s)	(m <sup>3</sup> /s)	(m/s)	
0,40	1,60	32,38	5,760	0,686	2,32	13,37	3,20	DP
0,30	1,70	32,27	6,290	0,715	2,38	14,96	3,28	DP
0,20	1,80	32,17	6,840	0,743	2,43	16,65	3,36	DP
0,15	1,85	32,13	7,123	0,758	2,46	17,53	3,40	DP
0,10	1,90	32,08	7,410	0,772	2,49	18,44	3,44	DP
0,00	2,00	32,00	8,000	0,800	2,54	20,34	3,51	DP

**Tab. D.3.4 Canale trapezio con fondo e pareti di diversa scabrezza**  
**Scala delle portate di moto uniforme. Formula di Chèzy e Gauckler-Strickler**

denominazione:	<b>V. Annunziatella Sinistro</b>			tronco n.	<b>16</b>
larghezza di fondo	b	(m)	2,00	s	1,000
proiezione della sponda 1	b1	(m)	2,00	s1	1,000
proiezione dε c	b2	(m)	2,00	s2	1,000
larghezza al ciglio	B	(m)	6,00		
altezza	H	(m)	2,00		sezione aperta
pendenza di fondo	i	(%)	<b>0,600</b>		
fondo	terra con erba		cf	(m <sup>1/3</sup> /s)	40
sponda 1	materassi Reno rinverditi		cs1	(m <sup>1/3</sup> /s)	30
sponda 2	materassi Reno rinverditi		cs2	(m <sup>1/3</sup> /s)	30
incremento di altezza			Dh	(m)	0,05
coefficiente di ragguglio dell'energia cinetica della corrente (coeff. di Coriolis)			α		1,06

franco	tirante idrico	parametro di scabrezza	sezione bagnata	raggio idraulico	velocità	portata di moto uniforme	velocità di stato critico	tipo di alveo
f	h	cm	A	R	v	Qo	Vc	
(m)	(m)	(m <sup>1/3</sup> /s)	(m <sup>2</sup> )	(m)	(m/s)	(m <sup>3</sup> /s)	(m/s)	
0,40	1,60	32,38	5,760	0,686	1,95	11,23	3,20	DP
0,30	1,70	32,27	6,290	0,715	2,00	12,57	3,28	DP
0,20	1,80	32,17	6,840	0,743	2,05	13,99	3,36	DP
0,15	1,85	32,13	7,123	0,758	2,07	14,73	3,40	DP
0,10	1,90	32,08	7,410	0,772	2,09	15,50	3,44	DP
0,00	2,00	32,00	8,000	0,800	2,14	17,09	3,51	DP

**Tab. D.3.5 Canale trapezio con fondo e pareti di diversa scabrezza**  
**Scala delle portate di moto uniforme. Formula di Chèzy e Gauckler-Strickler**

denominazione:	<b>Diversivo del V. Annunziatella</b>	tronco n.	<b>4a</b>
denominazione:	<b>N.V. Annunziatella Sinistro</b>	tronco n.	<b>9a</b>
larghezza di fondo	b (m)	4,00	s 2,105
proiezione della sponda 1	b1 (m)	1,90	s1 1,000
proiezione della sponda 2	b2 (m)	1,90	s2 1,000
larghezza al ciglio	B (m)	7,80	
altezza	H (m)	1,90	sezione aperta
pendenza di fondo	i (%)	<b>1,000</b>	
fondo	terra con erba	cf	(m <sup>1/3</sup> /s) 40
sponda 1	materassi Reno rinverditi	cs1	(m <sup>1/3</sup> /s) 30
sponda 2	materassi Reno rinverditi	cs2	(m <sup>1/3</sup> /s) 30
incremento di altezza		Dh	(m) 0,05
coefficiente di ragguaglio dell'energia cinetica della corrente (coeff. di Coriolis)		$\alpha$	1,06

franco	tirante idrico	parametro di scabrezza	sezione bagnata	raggio idraulico	velocità	portata di moto uniforme	velocità di stato critico	tipo di alveo
f (m)	h (m)	cm (m <sup>1/3</sup> /s)	A (m <sup>2</sup> )	R (m)	v (m/s)	Qo (m <sup>3</sup> /s)	Vc (m/s)	
0,40	1,50	34,00	8,250	0,825	2,99	24,67	3,30	DP
0,30	1,60	33,85	8,960	0,862	3,06	27,46	3,39	DP
0,20	1,70	33,70	9,690	0,897	3,14	30,38	3,48	DP
0,15	1,75	33,64	10,063	0,915	3,17	31,90	3,52	DP
0,10	1,80	33,57	10,440	0,932	3,20	33,44	3,57	DP
0,00	1,90	33,45	11,210	0,966	3,27	36,65	3,65	DP

**Tab. D.3.6 Canale trapezio con fondo e pareti di diversa scabrezza**  
**Scala delle portate di moto uniforme. Formula di Chèzy e Gauckler-Strickler**

denominazione:	<b>V. Annunziatella Sinistro</b>			tronco n.	<b>9b</b>
larghezza di fondo	b	(m)	4,00	s	2,000
proiezione della sponda 1	b1	(m)	2,00	s1	1,000
proiezione della sponda 2	b2	(m)	2,00	s2	1,000
larghezza al ciglio	B	(m)	8,00		
altezza	H	(m)	2,00		sezione aperta
pendenza di fondo	i	(%)	<b>0,600</b>		
fondo	terra con erba		cf	(m <sup>1/3</sup> /s)	40
sponda 1	materassi Reno rinverditi		cs1	(m <sup>1/3</sup> /s)	30
sponda 2	materassi Reno rinverditi		cs2	(m <sup>1/3</sup> /s)	30
incremento di altezza			Dh	(m)	0,05
coefficiente di ragguaglio dell'energia cinetica della corrente (coeff. di Coriolis)			$\alpha$		1,06

franco	tirante idrico	parametro di scabrezza	sezione bagnata	raggio idraulico	velocità	portata di moto uniforme	velocità di stato critico	tipo di alveo
f	h	cm	A	R	v	Qo	Vc	
(m)	(m)	(m <sup>1/3</sup> /s)	(m <sup>2</sup> )	(m)	(m/s)	(m <sup>3</sup> /s)	(m/s)	
0,40	1,60	33,85	8,960	0,862	2,37	21,27	3,39	DP
0,30	1,70	33,70	9,690	0,897	2,43	23,53	3,48	DP
0,25	1,75	33,64	10,063	0,915	2,46	24,71	3,52	DP
0,20	1,80	33,57	10,440	0,932	2,48	25,91	3,57	DP
0,10	1,90	33,45	11,210	0,966	2,53	28,39	3,65	DP
0,00	2,00	33,33	12,000	1,000	2,58	30,98	3,73	DP

**Tab. D.3.7 Canale trapezio con fondo e pareti di diversa scabrezza**  
**Scala delle portate di moto uniforme. Formula di Chèzy e Gauckler-Strickler**

denominazione:	<b>V. Annunziatella Sinistro</b>			tronco n.	<b>'11b</b>
larghezza di fondo	b	(m)	4,00	s	2,667
proiezione della sponda 1	b1	(m)	1,50	s1	1,000
proiezione della sponda 2	b2	(m)	1,50	s2	1,000
larghezza al ciglio	B	(m)	7,00		
altezza	H	(m)	1,50		sezione aperta
pendenza di fondo	i	(%)	<b>0,750</b>		
fondo	terra con erba		cf	(m <sup>1/3</sup> /s)	40
sponda 1	materassi Reno rinverditi		cs1	(m <sup>1/3</sup> /s)	30
sponda 2	materassi Reno rinverditi		cs2	(m <sup>1/3</sup> /s)	30
incremento di altezza			Dh	(m)	0,05
coefficiente di ragguaglio dell'energia cinetica della corrente (coeff. di Coriolis)			$\alpha$		1,06

franco	tirante idrico	parametro di scabrezza	sezione bagnata	raggio idraulico	velocità	portata di moto uniforme	velocità di stato critico	
f	h	cm	A	R	v	Qo	Vc	tipo di alveo
(m)	(m)	(m <sup>1/3</sup> /s)	(m <sup>2</sup> )	(m)	(m/s)	(m <sup>3</sup> /s)	(m/s)	
0,40	1,10	34,76	5,610	0,668	2,30	12,90	2,89	DP
0,30	1,20	34,55	6,240	0,709	2,38	14,84	3,00	DP
0,20	1,30	34,35	6,890	0,749	2,45	16,90	3,11	DP
0,15	1,35	34,26	7,223	0,768	2,49	17,97	3,16	DP
0,10	1,40	34,17	7,560	0,788	2,52	19,08	3,21	DP
0,00	1,50	34,00	8,250	0,825	2,59	21,37	3,30	DP

**Tab. D.3.8 Canale trapezio con fondo e pareti di diversa scabrezza**  
**Scala delle portate di moto uniforme. Formula di Chèzy e Gauckler-Strickler**

denominazione:	<b>V. Annunziatella Destro</b>			tronco n.	<b>8</b>
larghezza di fondo	b	(m)	6,00	s	3,000
proiezione della sponda 1	b1	(m)	2,00	s1	1,000
proiezione della sponda 2	b2	(m)	2,00	s2	1,000
larghezza al ciglio	B	(m)	10,00		
altezza	H	(m)	2,00		sezione aperta
pendenza di fondo	i	(%)	<b>1,000</b>		
fondo	terra con erba		cf	(m <sup>1/3</sup> /s)	40
sponda 1	materassi Reno rinverditi		cs1	(m <sup>1/3</sup> /s)	30
sponda 2	materassi Reno rinverditi		cs2	(m <sup>1/3</sup> /s)	30
incremento di altezza			Dh	(m)	0,05
coefficiente di ragguaglio dell'energia cinetica della corrente (coeff. di Coriolis)			$\alpha$		1,06

franco	tirante idrico	parametro di scabrezza	sezione bagnata	raggio idraulico	velocità	portata di moto uniforme	velocità di stato critico	tipo di alveo
f	h	cm	A	R	v	Qo	Vc	
(m)	(m)	(m <sup>1/3</sup> /s)	(m <sup>2</sup> )	(m)	(m/s)	(m <sup>3</sup> /s)	(m/s)	
0,40	1,60	34,84	12,160	0,981	3,44	41,82	3,50	DP
0,30	1,70	34,69	13,090	1,023	3,52	46,09	3,59	DP
0,20	1,80	34,55	14,040	1,064	3,60	50,54	3,68	DP
0,15	1,85	34,48	14,523	1,084	3,64	52,83	3,72	DP
0,10	1,90	34,41	15,010	1,104	3,68	55,16	3,76	DP
0,00	2,00	34,29	16,000	1,143	3,75	59,96	3,85	DP

**Tab. D.3.9 Canale trapezio con fondo e pareti di diversa scabrezza**  
**Scala delle portate di moto uniforme. Formula di Chèzy e Gauckler-Strickler**

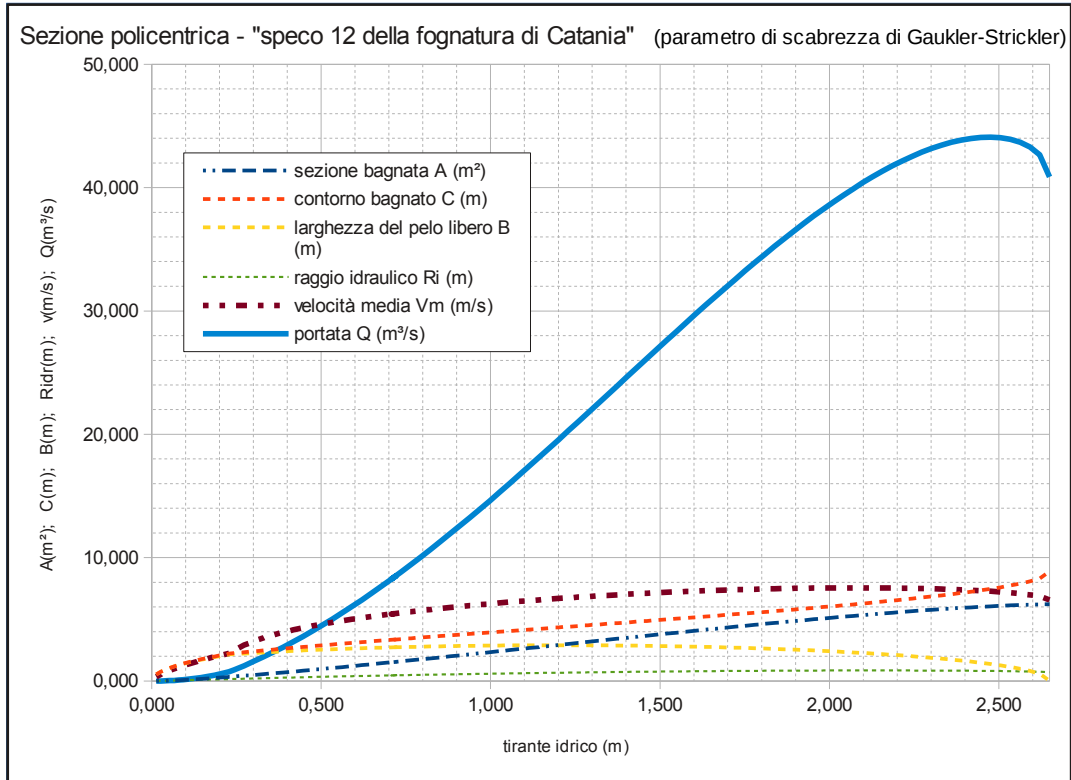
denominazione:	<b>V. Annunziatella Destro</b>			tronco n.	<b>5</b>
larghezza di fondo	b	(m)	7,00	s	3,684
proiezione della sponda 1	b1	(m)	1,90	s1	1,000
proiezione della sponda 2	b2	(m)	1,90	s2	1,000
larghezza al ciglio	B	(m)	10,80		
altezza	H	(m)	1,90		sezione aperta
pendenza di fondo	i	(%)	<b>0,900</b>		
fondo	terra con erba		cf	(m <sup>1/3</sup> /s)	40
sponda 1	materassi Reno rinverditi		cs1	(m <sup>1/3</sup> /s)	30
sponda 2	materassi Reno rinverditi		cs2	(m <sup>1/3</sup> /s)	30
incremento di altezza			Dh	(m)	0,05
coefficiente di ragguaglio dell'energia cinetica della corrente (coeff. di Coriolis)			$\alpha$		1,06

franco	tirante idrico	parametro di scabrezza	sezione bagnata	raggio idraulico	velocità	portata di moto uniforme	velocità di stato critico	tipo di alveo
f	h	cm	A	R	v	Qo	Vc	
(m)	(m)	(m <sup>1/3</sup> /s)	(m <sup>2</sup> )	(m)	(m/s)	(m <sup>3</sup> /s)	(m/s)	
0,40	1,50	35,38	12,750	0,981	3,31	42,25	3,44	DP
0,30	1,60	35,22	13,760	1,027	3,40	46,80	3,53	DP
0,20	1,70	35,07	14,790	1,072	3,48	51,54	3,63	DP
0,15	1,75	35,00	15,313	1,094	3,52	53,97	3,67	DP
0,10	1,80	34,93	15,840	1,115	3,56	56,46	3,72	DP
0,00	1,90	34,79	16,910	1,158	3,64	61,56	3,81	DP

**Tab. D.3.10 Canale trapezio con fondo e pareti di diversa scabrezza**  
**Scala delle portate di moto uniforme. Formula di Chèzy e Gauckler-Strickler**

denominazione:	<b>V. Annunziatella Destro</b>			tronco n.	<b>7</b>
larghezza di fondo	b	(m)	10,00	s	5,882
proiezione della sponda 1	b1	(m)	1,70	s1	1,000
proiezione della sponda 2	b2	(m)	1,70	s2	1,000
larghezza al ciglio	B	(m)	13,40		
altezza	H	(m)	1,70		sezione aperta
pendenza di fondo	i	(%)	<b>0,500</b>		
fondo	terra con erba		cf	(m <sup>1/3</sup> /s)	40
sponda 1	materassi Reno rinverditi		cs1	(m <sup>1/3</sup> /s)	30
sponda 2	materassi Reno rinverditi		cs2	(m <sup>1/3</sup> /s)	30
incremento di altezza			Dh	(m)	0,05
coefficiente di ragguaglio dell'energia cinetica della corrente (coeff. di Coriolis)			$\alpha$		1,06

franco	tirante idrico	parametro di scabrezza	sezione bagnata	raggio idraulico	velocità	portata di moto uniforme	velocità di stato critico	tipo di alveo
f	h	cm	A	R	v	Qo	Vc	
(m)	(m)	(m <sup>1/3</sup> /s)	(m <sup>2</sup> )	(m)	(m/s)	(m <sup>3</sup> /s)	(m/s)	
0,40	1,30	36,58	14,690	0,966	2,53	37,14	3,28	DP
0,30	1,40	36,41	15,960	1,023	2,61	41,72	3,40	DP
0,20	1,50	36,25	17,250	1,078	2,70	46,49	3,50	DP
0,15	1,55	36,17	17,903	1,105	2,73	48,95	3,56	DP
0,10	1,60	36,10	18,560	1,132	2,77	51,45	3,61	DP
0,00	1,70	35,95	19,890	1,184	2,85	56,59	3,71	DP



Tab. D.4.1 Scala delle portate e delle velocità di una corrente a pelo libero in sezione circolare

Tombino di Monte Po (sezione policentrica "speco tipo 12")

Dh = diametro orizzontale (m) **2,90** Dv = diametro verticale (m)

**2,65**

caratteristiche:

materiale	<b>calcestruzzo non perfettamente liscio</b>		
denominazione	<b>speco 12 della fognatura di Catania</b>		
		parte della policentrica	
		<b>cunetta inferiore</b>	<b>calotta superiore (rispetto al fondo della policentrica)</b>
De diametro esterno	(mm)	<b>6300</b>	<b>3700</b>
s spessore	(mm)	<b>500</b>	<b>400</b>
Di diametro interno	(mm)	<b>5300</b>	<b>2900</b>
r raggio interno	(mm)	<b>2650</b>	<b>1450</b>
angolo al centro		<b><math>\alpha/2</math></b>	<b><math>\alpha</math></b>
angolo al centro	(°)	<b>47,93018</b>	<b>95,86036</b>
tirante alla linea di giunzione	(m)	<b>0,228448</b>	<b>0,478448</b>
larghezza del pelo libero alla linea di giunzione	(m)	<b>2,152754</b>	<b>2,152754</b>
Ks parametro di scabrezza (Gaukler-Strickler)	(m <sup>1/3</sup> /s)	<b>80</b>	<b>80</b>
i pendenza		<b>0,0100</b>	<b>0,0100</b>

grado di riempimento	tirante idrico	franco	angolo al centro	sezione bagnata	contorno bagnato	larghezza del pelo libero	raggio idraulico	velocità media	portata	
h/2r	h (m)	f (m)	a (rad)	A (m²)	P (m)	B (m)	R (m)	Vm (m/s)	Q (m³/s)	
0,043	<b>0,228</b>	<b>2,422</b>	0,418	<b>0,331</b>	<b>2,217</b>	2,153	<u>0,149</u>	<u>2,251</u>	<b>0,745</b>	giunzione inf
0,165	<b>0,228</b>	<b>2,422</b>	0,837	<b>0,331</b>	<b>2,217</b>	2,153	<u>0,149</u>	<u>2,251</u>	<b>0,745</b>	giunzione sup
0,940	<b>2,476</b>	<b>0,174</b>	2,647	<b>6,061</b>	<b>7,466</b>	1,377	<u>0,812</u>	<u>7,275</u>	<b>44,095</b>	Q massima
0,800	<b>2,070</b>	<b>0,580</b>	2,214	<b>5,282</b>	<b>6,212</b>	2,320	<u>0,850</u>	<u>7,555</u>	<b>39,907</b>	V massima
0,820	<b>2,128</b>	<b>0,522</b>	2,265	<b>5,414</b>	<b>6,360</b>	2,228	<u>0,851</u>	<u>7,551</u>	<b>40,885</b>	Ridr massimo
0,500	<b>1,200</b>	<b>1,450</b>	1,571	<b>2,920</b>	<b>4,346</b>	2,900	<u>0,672</u>	<u>6,693</u>	<b>19,545</b>	B massimo
1,000	<b>2,650</b>	<b>0,000</b>	3,142	<b>6,223</b>	<b>8,901</b>	0,000	<u>0,699</u>	<u>6,567</u>	<b>40,868</b>	P massimo
1,000	<b>2,650</b>	<b>0,000</b>	3,142	<b>6,223</b>	<b>8,901</b>	0,000	<u>0,699</u>	<u>6,567</u>	<b>40,868</b>	A massimo
1,000	<b>2,650</b>	<b>0,000</b>	3,142	<b>6,223</b>	<b>8,901</b>	0,000	<u>0,699</u>	<u>6,567</u>	<b>40,868</b>	h massimo
0,860	<b>2,244</b>	<b>0,406</b>	2,375	<b>5,661</b>	<b>6,677</b>	2,013	<u>0,848</u>	<u>7,514</u>	<b>42,536</b>	franco
0,900	<b>2,360</b>	<b>0,290</b>	2,498	<b>5,879</b>	<b>7,035</b>	1,740	<u>0,836</u>	<u>7,429</u>	<b>43,674</b>	franco